

複素変数法による二次元応力問題の解法

-等角写像関数の決定-

東北大学 正 湯沢 耀
学 中田 美義

1. 序論

二次元応力問題の解法には、種々の方法があるが、今回は、複素変数法を用いた解析を行った。この場合の問題点は、領域と単位円に写像する際の写像関数の決定にある。写像関数が定めれば、境界条件より複素応力関数が決定し、応力を求める。従って写像関数の決定法として、複素変形法を用い、2, 3 の単純有限領域、解説例を示す。尚、解説例は東北大学大型計算機センターを利用した。

2. 等角写像関数の決定

単純有限領域と単位円の内部に写像する関数 $\chi(\zeta)$ は、次の形で表現される。

$$Z = K(\zeta) = \sum_{n=1}^{\infty} a_n \zeta^{m(n-1)+1} \quad (2.1)$$

$$Z = x + iy, \quad \zeta = pe^{i\theta} \quad (p \leq 1)$$

a_n : 一般に零でない複素数係数

m : 正定数

(2.1)式において $p=1$ とし、実部と虚部を分離すると

$$x_j = \sum_{n=1}^{\infty} a_n \cos\{m(n-1)+1\} \theta_j \quad (2.2)$$

$$y_j = \sum_{n=1}^{\infty} a_n \sin\{m(n-1)+1\} \theta_j$$

となる。(図2.1)より(2.2)式は、次のようになる。

$$a_1 = \frac{1}{2} (x_1 + y_1 / \sin \pi/m) - \sum_{n=3,5,7, \dots} a_n \quad (2.3)$$

$$a_2 = \frac{1}{2} (x_2 - y_2 / \sin \pi/m) - \sum_{n=4,6,8, \dots} a_n$$

(2.3)式を(2.2)式代入し整理すると(ただし $j = 2, 3, \dots, M-1$) (図2.2)

$$\begin{aligned} \sum_{n=3,5,7, \dots} a_n [\cos\{m(n-1)+1\} \theta_j - \cos(m+1) \theta_j] &+ \sum_{n=6,8, \dots} a_n [\cos\{m(n-1)+1\} \theta_j - \cos(m+1) \theta_j] \\ &+ \frac{1}{2} (x_1 + y_1 / \sin \pi/m) \cos \theta_j + \frac{1}{2} (x_2 - y_2 / \sin \pi/m) \cos(m+1) \theta_j - x_j = 0 \quad (2.4) \\ \sum_{n=3,5,7, \dots} a_n [\sin\{m(n-1)+1\} \theta_j - \sin(m+1) \theta_j] &+ \sum_{n=6,8, \dots} a_n [\sin\{m(n-1)+1\} \theta_j - \sin(m+1) \theta_j] \\ &+ \frac{1}{2} (x_1 + y_1 / \sin \pi/m) \sin \theta_j + \frac{1}{2} (x_2 - y_2 / \sin \pi/m) \sin(m+1) \theta_j - y_j = 0 \end{aligned}$$

となる。(2.4)式は、(M-2)元超越方程式のため、次のよう考へNewtonの逐次近似法を用い、 a_n, θ_j を決定する。

$$f_g(a_n, \theta_j) = 0, \quad g_j(a_n, \theta_j) = 0 \quad (2.5)$$

$$\text{又 } \sum_{n=3,5,7, \dots} \frac{\partial f_g}{\partial a_n} a_n + \frac{\partial f_g}{\partial \theta_j} \theta_j + f_j = 0, \quad \sum_{n=3,5,7, \dots} \frac{\partial g_j}{\partial a_n} a_n + \frac{\partial g_j}{\partial \theta_j} \theta_j + g_j = 0 \quad (2.6)$$

となる。しかし、(2.6)式の連立方程式を解くに当たって、 a_n, θ_j の初期値が必要となる。次に初期値設定に関する述べる。Z平面の領域は、円に近い形となる。(図2.2参照) すなはち、写像された近似的な形は θ_j となる。従って θ_j の初期値として θ_j の値を用い(2.4)式より a_n を求め、次の近似値として(2.6)式より a_n, θ_j を求め

$$(a_n)_2 = [a_n]_1 + \alpha a_n, \quad [\theta_j]_2 = [\theta_j]_1 + \alpha \theta_j \quad (2.7)$$

又、(2.5)式が満足するまで繰返す。(2.5)式が満足されたら、Z平面の領域を変形(その時の θ_j の初期値は前回領域の θ_j を使用)して、求めようとする領域に近付ける。(図2.3参照)

3. 複素応力関数の一般式及び境界条件

複素応力関数は次の形で表現される。

$$\psi(\zeta) = \sum_{n=1}^{\infty} \alpha_n \zeta^n, \quad \Psi(\zeta) = \sum_{n=0}^{\infty} \beta_n \zeta^n \quad (3.1)$$

$$\alpha_n, \beta_n: 一般に零でない複素数係数, \quad \zeta = x_1 + ix_2 = pe^{i\theta}$$

曲線座標系 x_1, x_2 に沿う応力、 $\sigma_{pp}, \sigma_{qq}, \tau_{pq}$ と複素応力関数との関係は次のようになる。

$$T_{\theta \theta} + T_{ff} = 4 \operatorname{Re}[\Psi(\zeta)]$$

$$T_{\theta \theta} - T_{ff} + 2i T_{f\theta} = \frac{2\zeta^2}{\rho^2 K(\zeta)} \{ X(\zeta) \Psi(\zeta) + Y(\zeta) \bar{\Psi}(\zeta) \}$$

$$\Psi(\zeta) = \Psi(\zeta) / K(\zeta), \quad \bar{\Psi}(\zeta) = \bar{\Psi}(\zeta) / K(\zeta)$$

(3.2)

境界が応力が指定されている場合の境界条件式は次のようになる。

$$q(\theta) + \{X(\zeta) / K(\zeta)\} q'(\zeta) + Y(\zeta) = H(\theta), \quad \theta = e^{i\theta} (\rho=1) \quad (3.3)$$

(3.3) 式の右边は $[0 \leq \theta \leq 2\pi]$ の区間に複素平面で正弦級数で展開する。

$$H(\theta) = h_1(\theta) + i h_2(\theta) = \sum_{n=-\infty}^{\infty} A_n \zeta^n = \sum_{n=-\infty}^{\infty} A_n \rho^{in} \quad (3.4)$$

$$A_n = \frac{1}{2\pi} \int_0^{2\pi} [h_1(\theta) + i h_2(\theta)] e^{-in\theta} d\theta$$

(3.1) (3.4) 式 & (3.3) 式に代入し整理すると、境界条件式は

$$\sum_{n=-\infty}^{\infty} A_n \rho^n + \left\{ \sum_{n=-\infty}^{\infty} C_n \rho^n + \sum_{n=1}^{\infty} C_n \rho^{-n} \right\} \sum_{n=-\infty}^{\infty} n \bar{\rho}^n \zeta^{-n} + \sum_{n=-\infty}^{\infty} B_n \rho^{-n} = \sum_{n=-\infty}^{\infty} A_n \zeta^n \quad (3.5)$$

$$K(\zeta) / K(\rho) = \sum_{n=1}^{\infty} C_n \rho^n + \sum_{n=1}^{\infty} C_n \rho^{-n}$$

(3.5) 式の两边の指數関数の係数を等置すると、 A_n, B_n を未知数とする連立方程式が得られる。

4. 応力の計算 曲線座標系 α_1, α_2 : 沿う応力は (3.2) 式より

$$T_{\theta \theta} + T_{ff} = 4 \operatorname{Re} \left[\sum_{n=-\infty}^{\infty} D_n \zeta^n \right] \quad (4.1)$$

$$T_{\theta \theta} - T_{ff} + 2i T_{f\theta} = \frac{2\zeta^2}{\rho^2 K(\zeta)} \{ X(\zeta) \Psi(\zeta) + Y(\zeta) \bar{\Psi}(\zeta) \} = \sum_{n=-\infty}^{\infty} F_n \zeta^n + \sum_{n=-\infty}^{\infty} H_n e^{in\theta}$$

$$\sum_{n=-\infty}^{\infty} D_n \zeta^n = \Psi(\zeta), \quad \sum_{n=-\infty}^{\infty} F_n \zeta^n = \frac{2\zeta^2}{\rho^2 K(\zeta)} \Psi(\zeta), \quad \sum_{n=-\infty}^{\infty} H_n e^{in\theta} = \frac{2\zeta^2}{\rho^2 K(\zeta)} \bar{\Psi}(\zeta)$$

(4.1) 式より実数部と虚数部を分離すると、各応力は次のようになる。

$$T_{\theta \theta} = \frac{1}{2} \left\{ \sum_{n=-\infty}^{\infty} (4D_n f^n + F_n + H_n) \cos n\theta + \sum_{n=1}^{\infty} (F_{-n} + H_{-n}) \cos n\theta \right\}$$

$$T_{ff} = \frac{1}{2} \left\{ \sum_{n=-\infty}^{\infty} (4D_n f^n - F_n - H_n) \cos n\theta - \sum_{n=1}^{\infty} (F_n + H_{-n}) \cos n\theta \right\}$$

$$T_{f\theta} = \frac{1}{2} \left\{ \sum_{n=-\infty}^{\infty} (F_n + H_n) \sin n\theta - \sum_{n=1}^{\infty} (F_n + H_{-n}) \sin n\theta \right\} \quad (4.2)$$

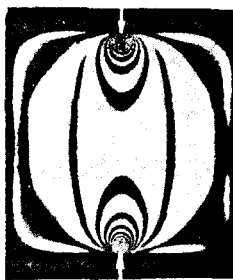
5. 解析例 (表5.1)は(図2.3)に示した例の写像関数係数である。この場合(2.1)式は、次のようになる。

$$Z = \rho \zeta = \sum_{n=1}^{\infty} a_n \zeta^{2n-1} \quad (m=2)$$

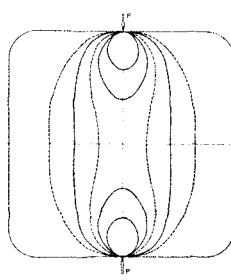
	a_1	a_2	a_3	a_4	a_5	a_6	a_7	a_8	a_9	a_{10}
$b=1.0$	1.0	—	—	—	—	—	—	—	—	—
$=0.9$	0.944768	0.049301	0.005131	0.000668	0.000098	0.000020	—	—	—	—
$=0.8$	0.878180	0.094105	0.020048	0.005324	0.001583	0.000502	0.000168	0.000057	0.000022	0.000011
$=0.7$	0.799403	0.129118	0.041139	0.016243	0.007209	0.003376	0.001712	0.000862	0.000537	0.000401
$=0.6$	0.708484	0.149522	0.061843	0.031148	0.018035	0.010645	0.007362	0.004622	0.004276	0.004063

(表5.1)

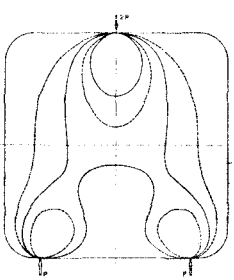
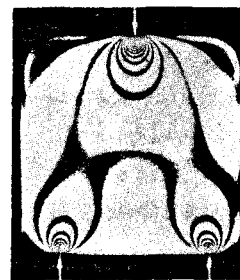
(図5.1) (図5.2) す。正方形の2点及び3点集中荷重の光弾性写真、複素変数法を用いて計算し、光弾性綱(等主応力差線図)に相当する図である。



(図5.1)



(図5.2)



参考文献 (1) Gotoh, K: A Numerical Method for Determining the Mapping Function for Some Simply-Connected Regions, Theor. Appl. Mech., Vol. 21, 1971 (2)前田成一郎, 弹性学, 森北出版, (3)玉系統, 弹性体の变形, イロナ社